

# РЕШЕНИЕ ЗАДАЧИ КИНЕМАТИКИ СФЕРИЧЕСКОГО МАНИПУЛЯТОРА ПАРАЛЛЕЛЬНОЙ СТРУКТУРЫ

С. В. Хейло

В статье рассмотрен сферический механизм параллельной структуры с тремя степенями свободы, с тремя кинематическими цепями. Исследованы задачи кинематики, решена задача о положениях сферического механизма, составлены уравнения связи. Представлено решение задачи о скоростях методом дифференцирования уравнения связей. Приведен пример расчета обратной задачи о скоростях.

**Ключевые слова:** механизм параллельной структуры, задачи о положении, задача о скоростях.

## Введение

Использование манипуляторов и роботов параллельной структуры привлекает все большее внимание специалистов в области машиностроения, так как эти механизмы воспринимают нагрузку подобно пространственным фермам, что определяет их повышенную точность, надежность и производительность. Среди механизмов параллельной структуры достаточно широко применяются сферические манипуляторы, обеспечивающие ориентирующе движение выходного звена. Данные устройства могут использоваться в качестве ориентирующих механизмов для антенных и измерительных приборов, медицинских инструментов, лазеров, сварочных установок. Подобные механизмы рассматривались в различных работах [1–3].

Однако задача о положении и скоростях не была решена для манипулятора, у которого в начальном положении оси всех кинематических пар расположены вдоль координатных осей  $x$ ,  $y$ ,  $z$ . Данная работа посвящена вопросам исследования кинематики сферического механизма параллельной структуры с тремя степенями свободы.

## Постановка задачи

Рассматриваемый сферический манипулятор (рис. 1) состоит из трех кинематических цепей с пересекающимися под углом  $90^\circ$  осями. Каждое входное звено цепи соединено с вращательным двигателем. Выходное звено представляет собой платформу, вращающуюся вокруг трех осей  $x$ ,  $y$ ,  $z$  в точке О. Выходными координатами являются углы поворота платформы:  $\alpha$ ,  $\beta$ ,  $\gamma$  – повороты вокруг осей  $x$ ,  $y$ ,  $z$ , соответственно. Обобщенными координатами являются

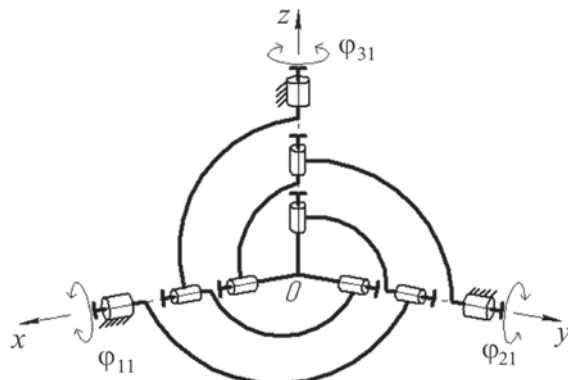


Рис.1 Кинематическая схема сферического манипулятора

ся углы  $\varphi_{11}$ ,  $\varphi_{21}$ ,  $\varphi_{31}$  – соответственно углы поворота входных звеньев первой, второй и третьей кинематической цепи.

Особенность механизмов параллельной структуры состоит во взаимосвязанности приводов и наличии особых положений, в которых теряется степень свободы или появляется неуправляемая подвижность.

Для определения скоростей и особых положений манипулятора необходимо решить задачу о положениях [4], т.е. найти взаимосвязь между входными и выходными координатами.

Определение скоростей манипулятора возможно методом винтового исчисления и аналитическим методом, основанном на изучении свойств матрицы Якоби, составленной из частных производных уравнений связи. Аналитический метод не требует специальных знаний винтового исчисления, а полученные матрицы Якоби в дальнейшем можно использовать при определении особых положений. Поэтому в работе расчет проводится аналитическим методом.

### Решение задачи о положениях

Выходное звено совершает последовательный поворот вокруг осей  $z$ ,  $y$ ,  $x$ . Матрицы, описывающие поворот вокруг осей  $z$ ,  $y$ ,  $x$  соответственно, выглядят следующим образом:

$$\mathbf{A}_1 = \begin{pmatrix} 1 & 0 & 0 \\ 0 & \cos \alpha & -\sin \alpha \\ 0 & \sin \alpha & \cos \alpha \end{pmatrix};$$

$$\mathbf{A}_2 = \begin{pmatrix} \cos \beta & 0 & \sin \beta \\ 0 & 1 & 0 \\ -\sin \beta & 0 & \cos \beta \end{pmatrix};$$

$$\mathbf{A}_3 = \begin{pmatrix} \cos \gamma & -\sin \gamma & 0 \\ \sin \gamma & \cos \gamma & 0 \\ 0 & 0 & 1 \end{pmatrix}.$$

Матрица, отражающая переход выходного звена от подвижной системы координат к неподвижной, будет иметь вид:

$$\mathbf{A} = \mathbf{A}_1 \cdot \mathbf{A}_2 \cdot \mathbf{A}_3$$

(см. приложение).

В первой кинематической цепи входное звено осуществляет поворот в следующей последовательности: вокруг осей  $x$ ,  $y$ ,  $z$ . Соответствующие этому матрицы поворота имеют вид:

$$\mathbf{B}'_1 = \begin{pmatrix} 1 & 0 & 0 \\ 0 & \cos \varphi_{11} & -\sin \varphi_{11} \\ 0 & \sin \varphi_{11} & \cos \varphi_{11} \end{pmatrix};$$

$$\mathbf{B}'_2 = \begin{pmatrix} \cos \varphi_{12} & 0 & \sin \varphi_{12} \\ 0 & 1 & 0 \\ -\sin \varphi_{12} & 0 & \cos \varphi_{12} \end{pmatrix};$$

$$\mathbf{B}'_3 = \begin{pmatrix} \cos \varphi_{13} & -\sin \varphi_{13} & 0 \\ \sin \varphi_{13} & \cos \varphi_{13} & 0 \\ 0 & 0 & 1 \end{pmatrix},$$

где  $\varphi_{11}$  – угол поворота входного звена;  $\varphi_{12}$  – угол поворота второго звена;  $\varphi_{13}$  – угол поворота выходного (третьего) звена.

Матрица перехода входного звена от подвижной системы координат к неподвижной можно представить как

$$\mathbf{B}' = \mathbf{B}'_1 \cdot \mathbf{B}'_2 \cdot \mathbf{B}'_3$$

(см. приложение).

Вектор выходного звена первой цепи имеет координаты  $\begin{pmatrix} 0 \\ 0 \\ 1 \end{pmatrix}$ . Подставив в урав-

нение связи  $\mathbf{A} \cdot \begin{pmatrix} 0 \\ 0 \\ 1 \end{pmatrix} = \mathbf{B}' \cdot \begin{pmatrix} 0 \\ 0 \\ 1 \end{pmatrix}$  найденные зна-

чения матриц  $\mathbf{A}$  и  $\mathbf{B}'$ , получим выражение  $\begin{pmatrix} \sin \gamma \cdot \sin \alpha + \cos \alpha \cdot \cos \gamma \cdot \sin \beta \\ \cos \alpha \cdot \sin \gamma \cdot \sin \beta - \cos \gamma \cdot \sin \alpha \\ \cos \beta \cdot \cos \alpha \end{pmatrix} = \begin{pmatrix} \sin \varphi_{12} \\ -\cos \varphi_{12} \cdot \sin \varphi_{11} \\ \cos \varphi_{11} \cdot \cos \varphi_{12} \end{pmatrix}$

из которого можно выразить угол  $\varphi_{11}$  через  $\alpha$ ,  $\beta$ ,  $\gamma$ .

Аналогичным образом составим уравнения связи для второй и третьей цепей. Выходное звено второй кинематической цепи имеет коорди-

наты  $\begin{pmatrix} 1 \\ 0 \\ 0 \end{pmatrix}$ , входное звено делает поворот в следую-  
ющей последовательности: поворот вокруг осей  $y$ ,  $z$ ,  $x$ .

Матрица перехода от подвижной системы координат к неподвижной входного звена будет иметь вид:

$$\mathbf{B}'' = \mathbf{B}''_1 \cdot \mathbf{B}''_2 \cdot \mathbf{B}''_3,$$

где  $\mathbf{B}''_1$  – матрица поворота вокруг оси  $x$ ;  $\mathbf{B}''_2$  – матрица поворота вокруг оси  $y$ ;  $\mathbf{B}''_3$  – матрица поворота вокруг оси  $z$  (эти матрицы см. в приложении);  $\varphi_{21}$  – угол поворота входного звена;

$\varphi_{22}$  – угол поворота второго звена;  $\varphi_{23}$  – угол поворота выходного (третьего) звена.

Подставив в уравнение связи  $\mathbf{A} \cdot \begin{pmatrix} 0 \\ 0 \\ 1 \end{pmatrix} = \mathbf{B}^{\prime\prime} \cdot \begin{pmatrix} 0 \\ 0 \\ 1 \end{pmatrix}$  значения матриц  $\mathbf{A}$  и  $\mathbf{B}^{\prime\prime}$  получаем выражение

$$\begin{pmatrix} \cos \alpha \cdot \cos \beta \\ \cos \beta \cdot \sin \alpha \\ -\sin \beta \end{pmatrix} = \begin{pmatrix} \cos \varphi_{21} \cdot \cos \varphi_{22} \\ \sin \varphi_{22} \\ -\cos \varphi_{22} \cdot \sin \varphi_{21} \end{pmatrix},$$

из которого можно выразить угол  $\varphi_{21}$  через  $\alpha$ ,  $\beta$ ,  $\gamma$ .

В третьей кинематической цепи выходное звено имеет координаты  $\begin{pmatrix} 0 \\ 1 \\ 0 \end{pmatrix}$ , а входное звено осуществляет поворот в следующей последовательности: вокруг осей  $z$ ,  $x$ ,  $y$ .

Матрица, описывающая переход входного звена от подвижной системы координат к неподвижной, будет иметь вид:

$$\mathbf{B}^{\prime\prime\prime} = \mathbf{B}_3^{\prime\prime\prime} \cdot \mathbf{B}_1^{\prime\prime\prime} \cdot \mathbf{B}_2^{\prime\prime\prime},$$

где  $\mathbf{B}_3^{\prime\prime\prime}$  – матрица порота вокруг оси  $z$ ;  $\mathbf{B}_1^{\prime\prime\prime}$  – матрица поворота вокруг оси  $x$ ;  $\mathbf{B}_2^{\prime\prime\prime}$  – матрица порота вокруг оси  $y$ .

Представляя ее аналогично ранее описанным матрицам, получим вид, приведенный в Приложении, где  $\varphi_{31}$  – угол поворота первого звена;  $\varphi_{32}$  – угол поворота второго звена;  $\varphi_{33}$  – угол поворота выходного (третьего) звена.

Уравнение связи  $\mathbf{A} \cdot \begin{pmatrix} 0 \\ 1 \\ 0 \end{pmatrix} = \mathbf{B}^{\prime\prime\prime} \cdot \begin{pmatrix} 0 \\ 1 \\ 0 \end{pmatrix}$ , после под-

становки найденных значений матриц  $\mathbf{A}$  и  $\mathbf{B}^{\prime\prime\prime}$ , примет вид соотношения:

$$\begin{pmatrix} \cos \alpha \cdot \sin \beta \cdot \sin \gamma - \cos \gamma \cdot \sin \alpha \\ \cos \alpha \cdot \cos \gamma + \sin \alpha \cdot \sin \beta \cdot \sin \gamma \\ \cos \beta \cdot \sin \gamma \end{pmatrix} = \begin{pmatrix} -\cos \varphi_{32} \cdot \sin \varphi_{31} \\ \cos \varphi_{31} \cdot \cos \varphi_{32} \\ \sin \varphi_{32} \end{pmatrix},$$

из которого находится угол  $\varphi_{31}$ , выраженный через  $\alpha$ ,  $\beta$ ,  $\gamma$ .

Задача о положениях заключается в определении взаимосвязи между координатами выходного звена и обобщенными координатами и описывается функцией положения. В неявном виде функция положения механизма выражается уравнением

$$F(\alpha, \beta, \gamma, \varphi_{11}, \varphi_{21}, \varphi_{31}) = 0.$$

Уравнение связи для сферического манипулятора с тремя кинематическими парами можно представить системой уравнений:

$$\begin{cases} F_1(\alpha, \beta, \gamma, \varphi_{11}) = 0; \\ F_2(\alpha, \beta, \gamma, \varphi_{21}) = 0; \\ F_3(\alpha, \beta, \gamma, \varphi_{31}) = 0. \end{cases}$$

Углы  $\varphi_{11}$ ,  $\varphi_{21}$ ,  $\varphi_{31}$ , выраженные через  $\alpha$ ,  $\beta$ ,  $\gamma$ , подставим в уравнения связей:

$$\begin{cases} F_1 = \operatorname{tg} \varphi_{11} - \frac{\cos \gamma \cdot \sin \gamma \cdot \sin \beta + \cos \gamma \cdot \sin \alpha}{\cos \alpha \cdot \cos \beta} = 0; \\ F_2 = \frac{\sin \beta}{\cos \gamma \cdot \cos \beta} - \operatorname{tg} \varphi_{21} = 0; \\ F_3 = \frac{\cos \gamma \cdot \sin \beta \cdot \sin \alpha - \cos \alpha \cdot \sin \gamma}{\cos \alpha \cdot \cos \gamma + \sin \alpha \cdot \sin \beta \cdot \sin \gamma} + \operatorname{tg} \varphi_{31} = 0. \end{cases}$$

Таким образом, составлены уравнения связи между углами поворота входных звеньев и углами поворота выходного звена.

### Расчет скоростей механизма методом дифференцирования уравнений связи

Для решения задачи о скоростях будем использовать аналитический подход [5], основанный на изучении свойств матрицы Якоби, представленной в общем виде:

$$\mathbf{C} \cdot \mathbf{V} = (-\mathbf{D}) \cdot \boldsymbol{\omega};$$

$$\mathbf{C} = \begin{pmatrix} \frac{\partial F_1}{\partial \alpha} & \frac{\partial F_1}{\partial \beta} & \frac{\partial F_1}{\partial \gamma} \\ \frac{\partial F_2}{\partial \alpha} & \frac{\partial F_2}{\partial \beta} & \frac{\partial F_2}{\partial \gamma} \\ \frac{\partial F_3}{\partial \alpha} & \frac{\partial F_3}{\partial \beta} & \frac{\partial F_3}{\partial \gamma} \end{pmatrix}, \quad \mathbf{D} = \begin{pmatrix} \frac{\partial F_1}{\partial \varphi_{11}} & 0 & 0 \\ 0 & \frac{\partial F_2}{\partial \varphi_{21}} & 0 \\ 0 & 0 & \frac{\partial F_3}{\partial \varphi_{31}} \end{pmatrix};$$

$$\mathbf{V} = \begin{pmatrix} \dot{\alpha} \\ \dot{\beta} \\ \dot{\gamma} \end{pmatrix}, \quad \boldsymbol{\omega}_1 = \begin{pmatrix} \dot{\varphi}_{11} \\ \dot{\varphi}_{21} \\ \dot{\varphi}_{31} \end{pmatrix},$$

где  $\mathbf{C}$  – матрица частных производных от неявной функции по  $\alpha$ ,  $\beta$ ,  $\gamma$ ;  $\mathbf{D}$  – матрица частных производных от неявной функции по обобщенным координатам  $\varphi_{11}$ ,  $\varphi_{21}$ ,  $\varphi_{31}$ ;  $\mathbf{V}$  – вектор скоростей изменения углов ориентации выходного звена, разложенные на базис не перпендикулярных друг другу осей, которые определяются углами  $\alpha$ ,  $\beta$ ,  $\gamma$ ;  $\boldsymbol{\omega}_1$  – обобщенные скорости во вращательных шарнирах (выходные скорости).

Скорость выходного звена может быть разложена на оси  $\alpha$ ,  $\beta$ ,  $\gamma$  и на оси  $x$ ,  $y$ ,  $z$ .

Для решения задачи о скоростях необходимо найти значения проекций скоростей на эти оси. Обозначим проекции скорости  $\mathbf{V}$  на оси  $\alpha$ ,  $\beta$ ,  $\gamma$  –  $\dot{\alpha}$ ,  $\dot{\beta}$ ,  $\dot{\gamma}$ , а на оси  $x$ ,  $y$ ,  $z$  –  $\omega_x$ ,  $\omega_y$ ,  $\omega_z$ . Их соотношение описывается выражениями:

$$\begin{aligned}\omega_x &= \dot{\alpha} \cdot x_\alpha + \dot{\beta} \cdot x_\beta + \dot{\gamma} \cdot x_\gamma; \\ \omega_y &= \dot{\alpha} \cdot y_\alpha + \dot{\beta} \cdot y_\beta + \dot{\gamma} \cdot y_\gamma; \\ \omega_z &= \dot{\alpha} \cdot z_\alpha + \dot{\beta} \cdot z_\beta + \dot{\gamma} \cdot z_\gamma; \\ \begin{pmatrix} x_\alpha \\ y_\alpha \\ z_\alpha \end{pmatrix} &= (\mathbf{A}) \cdot \begin{pmatrix} 1 \\ 0 \\ 0 \end{pmatrix} = \begin{pmatrix} \cos \gamma \cdot \cos \beta \\ \sin \gamma \cdot \cos \beta \\ -\sin \beta \end{pmatrix}; \\ \begin{pmatrix} x_\beta \\ y_\beta \\ z_\beta \end{pmatrix} &= \begin{pmatrix} \cos \gamma & -\sin \gamma & 0 \\ \sin \gamma & \cos \gamma & 0 \\ 0 & 0 & 1 \end{pmatrix} \cdot \begin{pmatrix} 0 \\ 1 \\ 0 \end{pmatrix} = \begin{pmatrix} -\sin \gamma \\ \cos \gamma \\ 0 \end{pmatrix},\end{aligned}$$

где  $x_\alpha, y_\alpha, z_\alpha$  – координаты кинематической пары третьего звена, равные произведению матрицы поворота выходного звена на координаты выходного звена в начальном положении;  $x_\beta, y_\beta, z_\beta$  – координаты кинематической пары второго звена, равные произведению матрицы поворота на угол  $\gamma$  вокруг оси  $z$ , умноженные на координаты второго звена в начальном положении;  $x_\gamma, y_\gamma, z_\gamma$  – координаты кинематической пары первого звена, расположенного вдоль оси  $z$ .

Запишем матрицы Якоби в следующем виде:

$$\begin{pmatrix} \frac{\partial F_1}{\partial \alpha} & \frac{\partial F_1}{\partial \beta} & \frac{\partial F_1}{\partial \gamma} \\ \frac{\partial F_2}{\partial \alpha} & \frac{\partial F_2}{\partial \beta} & \frac{\partial F_2}{\partial \gamma} \\ \frac{\partial F_3}{\partial \alpha} & \frac{\partial F_3}{\partial \beta} & \frac{\partial F_3}{\partial \gamma} \end{pmatrix} \cdot \begin{pmatrix} \dot{\alpha} \\ \dot{\beta} \\ \dot{\gamma} \end{pmatrix} = \begin{pmatrix} \frac{\partial F_1}{\partial \phi_{11}} & 0 & 0 \\ 0 & \frac{\partial F_2}{\partial \phi_{21}} & 0 \\ 0 & 0 & \frac{\partial F_3}{\partial \phi_{31}} \end{pmatrix} \cdot \begin{pmatrix} \dot{\phi}_{11} \\ \dot{\phi}_{21} \\ \dot{\phi}_{31} \end{pmatrix}.$$

Найдем частные производные от неявной функции по обобщенным и абсолютным координатам (см. Приложение).

Полученные уравнения позволяют решить прямую задачу о скоростях, т.е. определять скорости выходного звена при известных скоростях входного звена, и обратную задачу о скоростях, когда рассчитывается скорость входного звена при известных скоростях выходного звена.

### Пример решения задач о скоростях

Решим обратную задачу о скоростях, т.е. определим скорость входного звена для рассматриваемого сферического манипулятора с тремя степенями свободы. Зададим скорости выходного звена:  $\omega_x = 1$  рад/с;  $\omega_y = 1$  рад/с;  $\omega_z = 1$  рад/с. Вычислим скорости изменения углов ориентации выходного звена, разложенные на базис не перпендикулярных друг другу осей, которые

определяются углами  $\alpha, \beta, \gamma$ :  $\dot{\alpha} = 2,556$  рад/с;  $\dot{\beta} = 3,5$  рад/с;  $\dot{\gamma} = -0,302$  рад/с.

После дифференцирования уравнения связей матрица будет иметь вид:

$$\begin{pmatrix} 0,346 & 0,457 & 3,267 \\ 0 & 6,34 & 4,489 \\ 1,068 & 0,312 & -1,007 \end{pmatrix} \cdot \begin{pmatrix} 2,556 \\ 3,15 \\ -0,302 \end{pmatrix} = \begin{pmatrix} 1,061 & 0 & 0 \\ 0 & -9,316 & 0 \\ 0 & 0 & 1,007 \end{pmatrix} \cdot \begin{pmatrix} \dot{\phi}_{11} \\ \dot{\phi}_{21} \\ \dot{\phi}_{31} \end{pmatrix}.$$

Отсюда находим значения обобщенных скоростей:

$$\begin{aligned}\dot{\phi}_{11} &= 1,316 \text{ рад/с}; \dot{\phi}_{21} = 1,312 \text{ рад/с}; \\ \dot{\phi}_{31} &= 0,532 \text{ рад/с}.\end{aligned}$$

### Заключение

В данной работе получены уравнения связей между выходными и обобщенными координатами сферического манипулятора с тремя степенями свободы, у которого в начальном положении оси всех кинематических пар расположены вдоль координатных осей  $x, y, z$ . Решена задача о положениях сферического механизма. Задача о скоростях решена методом, основанным на дифференцировании уравнений связи.

В дальнейшем результаты работы могут быть использованы для решения задач об особых положениях, задач динамики и задач, связанных с оптимизацией параметров.

### Список литературы

1. Gosselin C. Kinematic Analysis Optimization and Programming of Parallel Robotic Manipulators: Ph.D. Thesis. – VcGill University, Montreal, June 15, 1988.
2. Leguay-Durand S., Reboulet C. Optimal design of a redundant spherical parallel manipulator // Robotica. 1997. No 15(4). P. 399–405.
3. Alizade R.I., Tagiyev N.R., Duffy J. A forward and reverse displacement analysis of an in-parallel spherical manipulator // Mechanism and Machine Theory. 1994. No 29(1). P. 125–137.
4. Глазунов В.А., Колискор А.Ш., Крайнев А.Ф. Пространственные механизмы параллельной структуры. – М.: Наука, 1991. – 95 с.
5. Gosselin C.M., Angeles J. Singularity analysis of closed-loop kinematic chains // IEEE. Transactions on Robotics and Automatics. 1990. V. 6(3). P. 281–290.

## ПРИЛОЖЕНИЕ

$$\mathbf{A} = \begin{pmatrix} \cos \gamma \cdot \cos \beta & \cos \gamma \cdot \sin \beta \cdot \sin \alpha - \cos \alpha \cdot \sin \gamma & \sin \alpha \cdot \sin \gamma + \cos \alpha \cdot \cos \gamma \cdot \sin \beta \\ \cos \beta \cdot \sin \gamma & \cos \alpha \cdot \cos \gamma + \sin \alpha \cdot \sin \beta \cdot \sin \gamma & \cos \alpha \cdot \sin \gamma \cdot \sin \beta - \cos \gamma \cdot \sin \alpha \\ -\sin \beta & \cos \beta \cdot \sin \alpha & \cos \beta \cdot \cos \alpha \end{pmatrix}.$$

$$\mathbf{B}' = \begin{pmatrix} \cos \varphi_{12} \cdot \cos \varphi_{13} & -\cos \varphi_{12} \cdot \sin \varphi_{13} & \sin \varphi_{12} \\ \cos \varphi_{11} \cdot \sin \varphi_{13} - \cos \varphi_{13} \cdot \sin \varphi_{11} \cdot \sin \varphi_{12} & \cos \varphi_{11} \cdot \cos \varphi_{13} - \sin \varphi_{11} \cdot \sin \varphi_{12} \cdot \sin \varphi_{13} & -\cos \varphi_{12} \cdot \sin \varphi_{11} \\ \sin \varphi_{11} \cdot \sin \varphi_{12} - \cos \varphi_{11} \cdot \cos \varphi_{13} \cdot \sin \varphi_{12} & \cos \varphi_{13} \cdot \sin \varphi_{11} + \cos \varphi_{11} \cdot \sin \varphi_{12} \cdot \sin \varphi_{13} & \cos \varphi_{11} \cdot \cos \varphi_{12} \end{pmatrix}.$$

$$\mathbf{B}'' = \begin{pmatrix} \cos \varphi_{12} \cdot \cos \varphi_{22} & \sin \varphi_{21} \cdot \sin \varphi_{23} - \cos \varphi_{21} \cdot \cos \varphi_{23} \cdot \sin \varphi_{22} & \cos \varphi_{23} \cdot \sin \varphi_{21} + \cos \varphi_{21} \cdot \sin \varphi_{22} \cdot \sin \varphi_{23} \\ \sin \varphi_{22} & \cos \varphi_{22} \cdot \cos \varphi_{23} & -\cos \varphi_{22} \cdot \sin \varphi_{23} \\ -\cos \varphi_{22} \cdot \sin \varphi_{12} & \cos \varphi_{21} \cdot \sin \varphi_{23} + \cos \varphi_{23} \cdot \sin \varphi_{21} \cdot \sin \varphi_{22} & \cos \varphi_{21} \cdot \cos \varphi_{23} - \sin \varphi_{21} \cdot \sin \varphi_{22} \cdot \sin \varphi_{23} \end{pmatrix}.$$

$$\mathbf{B}''' = \begin{pmatrix} \cos \varphi_{31} \cdot \cos \varphi_{32} - \sin \varphi_{31} \cdot \sin^2 \varphi_{32} & -\cos \varphi_{32} \cdot \sin \varphi_{31} & \cos \varphi_{31} \cdot \sin \varphi_{32} + \cos \varphi_{32} \cdot \sin \varphi_{31} \cdot \sin \varphi_{23} \\ \cos \varphi_{31} \cdot \sin^2 \varphi_{32} + \cos \varphi_{32} \cdot \sin \varphi_{31} & \cos \varphi_{31} \cdot \cos \varphi_{23} & \sin \varphi_{31} \cdot \sin \varphi_{32} - \cos \varphi_{31} \cdot \cos \varphi_{32} \cdot \sin \varphi_{32} \\ -\cos \varphi_{32} \cdot \sin \varphi_{31} & \sin \varphi_{23} & \cos^2 \varphi_{23} \end{pmatrix}.$$

$$\frac{\partial F_1}{\partial \alpha} = -\frac{\cos \gamma \cdot \cos \alpha + \sin \gamma \cdot \sin \beta \cdot \sin \alpha}{\cos \beta \cdot \cos \alpha} - \frac{\sin \alpha \cdot \cos \gamma \cdot \sin \alpha - \sin \gamma \cdot \cos \alpha \cdot \sin \beta}{\cos \beta \cdot \cos^2 \alpha},$$

$$\frac{\partial F_1}{\partial \beta} = \sin \gamma - \frac{\sin \beta \cdot (\cos \gamma \cdot \sin \alpha - \sin \gamma \cdot \cos \alpha \cdot \sin \beta)}{\cos^2 \beta \cdot \cos \alpha}, \quad \frac{\partial F_1}{\partial \gamma} = \frac{\sin \gamma \cdot \sin \alpha - \cos \gamma \cdot \cos \alpha \cdot \sin \beta}{\cos \beta \cdot \cos \alpha};$$

$$\frac{\partial F_2}{\partial \alpha} = 0; \quad \frac{\partial F_2}{\partial \beta} = \frac{1}{\cos \gamma} + \frac{\sin^2 \beta}{\cos \gamma \cdot \cos^2 \beta}, \quad \frac{\partial F_2}{\partial \gamma} = \frac{\sin \gamma \cdot \sin \beta}{\cos^2 \gamma \cdot \cos \beta},$$

$$\frac{\partial F_3}{\partial \alpha} = \frac{\sin \gamma \cdot \sin \alpha + \cos \gamma \cdot \cos \alpha \cdot \sin \beta}{\cos \gamma \cdot \cos \alpha + \sin \gamma \cdot \sin \beta \cdot \sin \alpha} - \frac{(\cos \gamma \cdot \sin \alpha - \sin \gamma \cdot \cos \alpha \cdot \sin \beta) \cdot (\sin \gamma \cdot \cos \alpha - \cos \gamma \cdot \sin \beta \cdot \sin \alpha)}{\cos \gamma \cdot \cos \alpha + \sin \gamma \cdot \sin \beta \cdot \sin^2 \alpha},$$

$$\frac{\partial F_3}{\partial \beta} = \frac{\cos \gamma \cdot \cos \beta \cdot \sin \alpha}{\cos \gamma \cdot \cos \alpha + \sin \gamma \cdot \sin \beta \cdot \sin \alpha} + \frac{\sin \gamma \cdot \cos \beta \cdot \sin \alpha \cdot (\sin \gamma \cdot \cos \alpha - \cos \gamma \cdot \sin \beta \cdot \sin \alpha)}{\cos \gamma \cdot \cos \alpha + \sin \gamma \cdot \sin \beta \cdot \sin^2 \alpha},$$

$$\frac{\partial F_3}{\partial \gamma} = -\frac{(\sin \gamma \cdot \cos \alpha - \cos \gamma \cdot \sin \beta \cdot \sin \alpha)^2}{(\cos \gamma \cdot \cos \alpha + \sin \gamma \cdot \sin \beta \cdot \sin \alpha)^2} - 1; \quad \frac{\partial F_1}{\partial \varphi_{11}} = \operatorname{tg}^2 \varphi_{11} + 1; \quad \frac{\partial F_1}{\partial \varphi_{21}} = -\operatorname{tg}^2 \varphi_{21} - 1; \quad \frac{\partial F_1}{\partial \varphi_{31}} = \operatorname{tg}^2 \varphi_{31} + 1.$$

Материал поступил в редакцию 28.10.2010

**ХЕЙЛО  
Сергей Валерьевич**

E-mail: sheilo@yandex.ru  
Тел. +7 (495) 955-37-87

Кандидат технических наук. Доцент кафедры прикладной механики ГОУ МГТУ имени А.Н. Косыгина. Сфера научных интересов – робототехника, манипуляторы параллельной структуры. Автор более 30 научных публикаций.